

'94 国际石油与石油  
化工科技研讨会论文

# ERW 钢管的沟状腐蚀敏感性评价

郭生武 张全明

(石油管材研究所)

1994 年 9 月 北京

# ERW 钢管的沟状腐蚀敏感性评价

## 摘 要

本文主要研究了 ERW 钢管沟状腐蚀问题,阐明了沟状腐蚀的机理及主要影响因素,并采用动态浸泡试验方法对日本和国内生产的十四种 ERW 钢管及三种螺旋埋弧焊钢管焊区的沟状腐蚀敏感性进行了评价。结果认为,材质中 S、Cu 含量、焊缝亮线宽度、金属流线上角、焊后热处理、环境因素等严重影响 ERW 钢管的沟状腐蚀敏感性。

## 前 言

直缝电阻焊(ERW)钢管是由带钢在常温下压力成型、高频电流电阻加热、压力焊接制成的焊管。由于这种焊管壁厚均匀、抗挤溃能力强、材质综合机械性能好、抗射孔开裂性能好、价格便宜、可代替部分 K55、J55 和 N80 套管在某些情况下服役,所以 50 年代后期即得到迅速发展,60 年代又开发了较大直径的 ERW 油气输送管。但实践表明,ERW 钢管在使用过程中会发生焊缝的局部腐蚀,焊缝区在几个月到一、二年内首先出现蚀孔、蚀孔沿着焊缝发展并向焊缝两侧母材侵蚀而形成沟状腐蚀形态(图 1)。

早期的沟状腐蚀多发生于用 ERW 钢管输送海水和工业用水的场合,失效年限一般为 1~5 年。后来,ERW 钢管被应用于油气采集和输送,也存在沟状腐蚀失效危险。

随着我国石油工业的发展,国产及进口 ERW 钢管用量逐年递增<sup>[1]</sup>。因此,研究 ERW 钢管发生沟状腐蚀的机理及影响因素,探索防止沟状腐蚀的途径,对于预防和减少因沟状腐蚀而引起的腐蚀失效事故,提高油田经济效益和社会效益,都具有重大意义。

## 试验内容及试验方法

### 1. 试验内容

本文主要采用动态浸泡试验方法,控制介质的浓度、流速、温度、敞开体系进行试验,采用几何方法测定焊缝沟腐蚀敏感系统,对国产及进口

ERW 钢管的沟状腐蚀敏感性进行系统评价,并对沟状腐蚀的机理和影响因素进行了探讨。

### 2. 试验方法

#### (1) 试验装置

动态浸泡试验装置见图 2。

#### (2) 试验介质

用 NaCl(化学纯)、蒸馏水制备 3.5%NaCl 溶液(重量比),初始 PH 值约为 6.9。

#### (3) 试样

1) 试样基本情况:见表 1,除 P5~P10 为国产钢管外,其余为进口管。P1~P7 为 ERW 输送管, P8~P10 为螺旋埋弧焊输送管, C1~C7 为 ERW 套管。

表 1 试样基本情况 mm

试样编号	钢 级	规 格
P1	X52	273×6
P2	X52	273×6
P3	X52	273×6
P4	X52	273×6
P5	TS 52K	219.1×6
P6	SM 41B	273×7.09
P7	X60	159×6
P8	TS 52K	720×8
P9	TS 52K	630×8
P10	SM 41B	426×7
C1	J-55	139.7×6.20
C2	J-55	139.7×9.17
C3	J-55	244.5×10.03
C4	N-80	139.7×7.72
C5	N-80	139.7×7.72
C6	J-55	339.7×10.54
C7	N-80	244.5×10.03

表 2 试样化学成分分析结果(Wt%)

试样编号	C	Si	Mn	P	S	Cu	Cr	Ni	V	Ti	Nb
P1	0.07	0.16	1.16	0.015	0.006	0.010	0.023	—	0.010	0.007	0.034
P2	0.16	0.21	0.82	0.018	0.005	0.007	0.032	—	0.010	0.007	0.032
P3	0.08	0.23	0.91	0.014	0.012	0.007	0.015	—	0.010	0.007	0.018
P4	0.14	0.13	0.72	0.016	0.004	0.008	0.021	—	0.010	0.007	0.030
P5	0.15	0.21	1.22	0.020	0.018	0.007	0.023	—	0.010	0.007	0.029
P6	0.18	0.20	0.67	0.011	0.006	0.007	0.014	—	0.010	0.007	0.002
P7	0.07	0.29	1.24	0.014	0.011	0.041	0.010	—	0.010	0.007	0.054
P8	0.14	0.21	1.07	0.015	0.004	—	0.020	0.014	—	—	—
P9	0.10	0.20	1.25	0.027	0.050	—	<0.01	0.016	—	—	—
P10	0.14	0.06	1.05	0.014	0.010	—	<0.01	0.06	—	—	—
C1	0.05	0.22	1.40	0.009	0.004	0.30	—	—	<0.03	<0.03	0.033
C2	0.05	0.20	1.33	0.010	0.003	0.31	—	—	<0.03	<0.03	0.032
C3	0.06	0.21	1.30	0.011	0.003	0.30	—	—	<0.03	<0.03	0.029
C4	0.19	0.20	1.63	0.009	0.003	0.29	—	—	<0.03	<0.03	0.043
C5	0.19	0.22	1.64	0.011	0.004	0.29	—	—	<0.03	<0.03	0.040
C6	0.20	0.20	1.18	0.016	0.007	<0.05	—	—	0.01	0.036	—
C7	0.23	0.19	1.38	0.015	0.003	<0.05	0.15	—	<0.03	—	—

2) 取样方法:在 ERW 钢管上沿纵向焊缝切取 50mm×40mm(输送管)或 40mm×30mm(套管)的试样,原始壁厚,焊缝居于试样中部。另外对套管和螺旋埋弧焊输送管加工 5mm 厚平面试样,与原始壁厚试样进行比较。

3) 试样准备方法:将试样表面用砂纸打磨,丙酮、无水乙醇清洗,干燥后置于干燥器中备用。

4) 试样的称量及尺寸测量:在试验前后将 ERW 输送管样品用分析天平逐个称量,精确到 0.001g。在试验前后用读数显微镜测量所有样品焊缝区域的厚度,精确到 0.01mm。

5) 试样的化学成分:见表 2。

6) 金相分析:对试样的显微组织、夹杂物、晶粒度、焊缝金属流线上角、焊缝亮线宽度进行分析,见表 3。

(4) 试验条件<sup>[2]~[6]</sup>

试验介质:3.5%NaCl 溶液

流速:1m/s

温度:40℃

试验周期:ERW 输送管的试验周期为 150d;螺旋输送管和 ERW 套管的试验周期为 120 d。

(5) 评价方法

1) 沟状腐蚀敏感性评价:从宏观角度来评价,可以定义一个参数,称为沟状腐蚀敏感系数(图 3)。

表 3 ERW 钢管金相分析结果

试样 编号	显微组织		硫化物 夹杂		晶 粒 度	金属 流 线 上 升 角 度 (°)	焊缝 亮 线 宽 度 mm
	母 材	焊 缝	薄	厚			
P1	F+P	F+P	0.5	0.5	11	—	—
P2	F+P	F+P	0.5	0.5	11	—	—
P3	F+P	F+P	0.5	0.5	10	—	—
P4	F+P	F+P	0.5	0.5	11	75	—
P5	F+P	F+P	—	—	—	80	0.04
P6	S <sub>m</sub> +B <sub>z</sub>	F+P	—	—	—	75~80	0.06
P7	F+P	F+P	—	—	—	70	0.05
C1	F+P	F+P	0.5	0.5	11	73.5	—
C2	F+P	F+P	1.0	1.0	11	78.5	—
C3	F+P	F+T	0.5	0.5	12	76	—
C4	F+P	F+T	1.5	1.5	12	83.5	0.02
C5	F+P	F+P	1.0	0.5	12	83	0.02
C6	F+T	F+P	1.0	1.0	11	72	0.04
C7	S <sub>m</sub> +S <sub>z</sub>	S <sub>m</sub> +S <sub>z</sub>	1.5	1.5	9	71	0.01

注:①P—珠光体;F—铁素体;S<sub>m</sub>—回火索氏体;B<sub>z</sub>—上贝氏体;T—屈氏体。②“—”表示不明显或无法测量。

2) 输送管母材的腐蚀速度<sup>[7]</sup>

$$\text{腐蚀速度} = (k \times w) / (A \times D \times T)$$

式中:W 为失重,g;A 为试样暴露面积,cm<sup>2</sup>;T 为试验周期,h;K 为常数,0.000327;D 为密度,

7.68g/cm<sup>3</sup>。

## 试验结果

### 1. ERW 输送管浸泡试验结果

ERW 输送管浸泡试验结果见表 4, 浸蚀后试样形貌见图 4, 其沟状腐蚀敏感系数相差较大, 按其敏感程度由小到大排列为: P1, P2, P3, P4, P5, P6, P7。

表 4 ERW 输送管浸泡试验结果

试样编号	沟状腐蚀敏感系数 $\alpha$				母材腐蚀速率 mm/a
	$\alpha_1$	$\alpha_2$	$\alpha_3$	平均值	
P1	1.28	2.51	1.71	1.83	1.36
P2	1.41	2.56	1.71	1.89	1.77
P3	1.52	—	2.44	1.98	1.32
P4	1.73	2.45	3.10	2.43	1.52
P5	2.30	3.32	1.95	2.54	1.52
P6	2.64	3.95	3.21	3.20	1.40
P7	1.47	—	4.96	3.22	1.13

### 2. 螺旋输送管浸泡试验结果

本试验采用的三种螺旋埋弧焊输送样品, 在试验期内, 焊缝、热影响区和母材均未发生明显的腐蚀。说明该批 TS 52K、SM41B 卷板材质耐蚀性良好。

### 3. ERW 套管浸泡试验结果

结果表明, 几乎所有的 ERW 套管试样在试验周期内均未出现明显的沟状腐蚀现象, 且其母材也表现出良好的耐蚀性(见图 5)。说明这批 ERW 套管样品沟状腐蚀敏感性较小, 母材耐蚀性也较好。

## 分析讨论

### 1. 沟状腐蚀的机理

众所周知, ERW 钢管焊缝部位的显微组织与母材稍有差异, 并带有因快速加热和冷却滞后作用而形成的局部残余应力, 对腐蚀介质较敏感。而且, 由于焊接时的挤压作用, 卷板轧制方向的带状组织(宏观表现为金属流线)朝着焊缝区域的内外表面突出, 除去毛刺后, 金属流线暴露在管子内外表面, 沿金属流线分布的 MnS 夹杂物直接露在管子表面, 我们用金相显微镜对沿壁厚方向磨制的样品进行分析, 出现焊缝内近亮线两侧富集夹

杂物(图 6), 一般为大量的氧化物夹杂和硫化物夹杂, 亮线内夹杂物也较母材多, 焊缝内典型的硫化物形貌见图 7。由于在焊接时, 焊缝区域的 MnS 首先溶解析出, 故在其周围形成富 S 区。采用扫描电镜对焊缝内 MnS 夹杂物进行研究, 发现该夹杂物周围 S、Mn 含量均较高(图 7), 其中黑框内各元素含量如下:

元素	夹杂物及其周围区域	基体
Al	6.018%	—
S	15.019%	0.016%
Mn	18.465%	0.67%
Fe	60.499%	—

这些富 S 区活性较大, 当遇到腐蚀性介质时, 富 S 区对于母材和 MnS 呈阳极, 被优先腐蚀, 在 MnS 夹杂物周围形成蚀坑。由于蚀坑内液体的 PH 值很低, MnS 发生化学溶解, 使蚀坑扩大, MnS 溶解形成 HS<sup>-</sup>、S<sup>2-</sup> 以及蚀坑内外存在有氧浓差加速了腐蚀过程。由于连续的 Al<sub>2</sub>O<sub>3</sub>、MnS 夹杂物不仅在焊缝表面形成, 也在焊缝内形成, 因此形成一个有一定宽度和深度的连续局部腐蚀点, 最后, 许多蚀坑连续成沟槽。在沟状腐蚀的扩展过程中, 也遵循这一规律。我们用扫描电镜观察了沟槽底部的形貌(图 9), 在沟槽底部观察到许多由于夹杂物溶解形成的点蚀坑, 尚未连续在一起。焊缝和母材之间的显微组织差异、焊缝存在的残余应力等对沟状腐蚀有一定的加速作用。

### 2. 材质对 ERW 钢管沟状腐蚀敏感性影响

#### (1) 化学成分的影响

分析试验样品的化学成分, 发现几种 ERW 输送管的 S 含量约为 0.01%, 远高于 ERW 套管的 S 含量(0.004%), 增大了 ERW 输送管的沟状腐蚀敏感性。另外, 试验用的七种 ERW 套管样品中有五种添加了约 0.30% 的 Cu, 这也是其耐沟状腐蚀的主要原因之一。因为加入 Cu 形成 CuS 夹杂物, 由于 Cu 的硫化物可形成固溶体分散在母材中, 因此, 通过焊后热处理, 可消除 MnS 周围的富 S 区, 降低沟状腐蚀敏感性; 另一方面, 可在钢铁表面形成致密且附着力强的保护膜, 从而抑制腐蚀过程。

十五种进口 ERW 套管的化学成分, 其 S、Cu 和 Ti 含量列于表 5。由表 5 可以看出, 进口 ERW 套管的化学成分有两个显著的特点: ①S 含量很低, 一般不高于 0.004%; ②添加了适量的 Cu、Ti 等合金元素, Cu 的添加量一般为 0.30%。

表 5 进口 ERW 套管主要参数统计表

生产厂	P2						C1			
	N80	N80	N80	N80	N80	J55	TC-60LE			
钢级	N80	N80	N80	N80	N80	J55	0.004	0.004	0.004	0.004
S/(%)	0.003	0.003	0.003	0.003	0.003	0.007	0.004	0.004	0.004	0.004
Cu/(%)	<0.05	<0.05	<0.05	<0.05	<0.05	—	0.30	0.30	0.30	0.29
亮线宽度/mm	0.02	0.03	0.03	0.04	0.04	0.04	0.035	0.03	0.02	0.035
金属流线上角/(°)	72	72	68	74	77	—	72.5	68	74	83

这说明采取适当措施减少钢中 S 含量, 添加适量的 Cu 等元素将大大降低 ERW 钢管的沟状腐蚀敏感性, 且较经济。

### (2) 显微组织的影响

ERW 钢管焊接时, 焊接区域被加热到 1600℃ 左右, 在小于 0.1 s 的时间内焊合, 然后在 4~6s 内冷却到 40℃ 再在 10 s 内水冷至常温。这种急剧的冷热变化使焊缝的显微组织和夹杂物形态等发生了改变, 即使采用一般的焊后热处理也不能消除其影响。

此时焊缝的组织一般为上贝氏体、回火索氏体或珠光体与铁素体。我们采用图像分析仪对焊缝区域的组织进行定量分析, 发现即使焊缝和母材组织相似, 同为珠光体与铁素体, 焊缝的珠光体含量也明显低于母材和热影响区(见表 6)。这种显微组织的差别导致腐蚀介质中焊缝和母材的电位差异, 会引起焊缝选择性腐蚀。

表 6 ERW 钢管焊缝定量金相分析结果

区域	焊缝	热影响区	母材
珠光体含量	14.983%	27.688%	18.166%

另外, 焊接区域内熔融金属在挤压力作用下被挤出焊缝, 并在其后的工艺中被去除, 造成焊缝部位金属流线上角和大量的流线露头, 使得带状偏析内的夹杂物直接露于表面, 易于被侵蚀。一般通过测量金属流线上角夹控制挤压量的大小。挤压量越大, 金属流线上角越大, 流线露头和夹杂物暴露增多, 沟状腐蚀敏感性增大。

还有一点, 就是在高频电阻焊接时, 由于集肤效应, 仅焊接部位金属被熔化。由于温度很高, 熔融金属脱碳, 焊合后在焊缝处形成一条宽约为 0.02~0.20mm 的亮线带, 熔合线处碳含量远低于母材, 且变化范围很窄, 不超过 0.6mm, 使沟状腐蚀敏感性增大。

显然, 焊缝的显微组织差异对沟状腐蚀有一定的影响作用, 若能采用合适的焊接工艺和焊后

热处理工艺, 将会大大降低 ERW 钢管的沟状腐蚀敏感性。

### 3. 环境因素对 ERW 钢管沟状腐蚀敏感性的影响

使用的环境不同, ERW 钢管的沟状腐蚀敏感性也有差异。

下面主要就中性环境中溶解氧含量、溶液 PH、溶液的流速及温度等对 ERW 钢管沟状腐蚀敏感性的影响进行讨论。

#### (1) 溶解氧含量的影响

在中性或碱性溶液中, 溶解氧对 ERW 钢管沟状腐蚀敏感性影响很大。此时, 氧进行去极化反应, 溶解氧的扩散是腐蚀的控制步骤。有文献说明<sup>[5]</sup>, 如果溶解氧含量小于  $5 \times 10^{-6}$  或从环境中除去氧, 则 ERW 钢管几乎不产生沟状腐蚀。

#### (2) 溶液温度的影响

一般认为<sup>[7]</sup>, 温度升高, 腐蚀速度加快。但是对于沟状腐蚀而言, 温度升高不会显著影响其敏感性。有的学者研究发现 30~90℃ 范围内沟状腐蚀敏感系数不随温度变化而变化。因此, 在接近实际使用条件的较低温度下(30~50℃)进行试验和评价, 就可以得到比较准确的结果。

#### (3) 溶液流速的影响

溶液的流速是影响沟状腐蚀速率的环境因素之一。流速增大, 会提高沟状腐蚀敏感性, 即随流速增大而增大。因为沟状腐蚀以点蚀机理扩展, 焊缝区形成近似自然封闭状态, 流速的增大一方面可以对母材上的锈层产生冲刷作用, 另一方面可加快氧的传递, 使蚀坑内外的氧浓度差进一步增大, 加速焊缝局部腐蚀, 增大沟状腐蚀敏感性系数。因此, 在输送腐蚀性流体时, 应适当地控制流速, 确保管线的安全。

综上所述, 环境因素虽然不是影响沟状腐蚀的决定因素, 但却是诱发沟状腐蚀的直接因素。因此, 适当对环境因素进行控制, 将会降低沟状腐蚀失效的频率。

## 结 论

(1) ERW 钢管的沟状腐蚀起源于焊缝内的 MnS 夹杂物, 焊缝存在的残余应力及焊缝和母材间显微组织的差异起加速作用。

(2) 在中性 NaCl 环境中, 螺旋焊输送管及 ERW 套管沟状腐蚀敏感性较小, 而 ERW 输送管较大。

(3) 钢中 S、Mn 元素的含量对沟状腐蚀敏感性影响很大, 控制钢中 S 含量, 添加适量的 Cu、Ti 等合金元素可以大大降低 ERW 钢管的沟状腐蚀敏感性。

(4) 焊后高温退火可以消除焊缝和母材间的显微组织差异, 降低沟状腐蚀敏感性。

(5) 溶解氧及流速的增大, 会增加沟状腐蚀敏感系数; 温度对沟状腐蚀敏感性基本无影响。

## 参 考 文 献

- 1 王仪康. 我国石油和天然气工业发展中的油井管问题. 石油专用管, 1993 02
- 2 耐沟状腐蚀电焊钢管, 日本钢管
- 3 Kato C Otaguro Y, Kado S, Hisarmatsut Y. Grooving corrosion in Electric Resistance Weled Steel Pipe in Sea Water. *Corrosion*, 1978, 18: 61~74
- 4 Masamura Katsumi, Marsnshima Lwao. Grooving Corrosion of Electric Resistance Welded Steel Pipe in Water Case Histories and Alloying Elements. *Corrosion*, 1981
- 5 Miyasaka Akiniro, Ogawa Hiroyuki. Grooving Corrosion Behavior of HF-ERW Pipes and Tubes as Influenced by Petroleum Production Environments. *Corrosion*, 1991
- 6 Torri Nobumasa, Kashima Hiraku, Miyuki Hideaki. Grooving of Welded Steel Pipe for Water Transimission
- 7 方坦纳 M G, 格林 N D. 腐蚀工程, 化学工业出版社, 1982

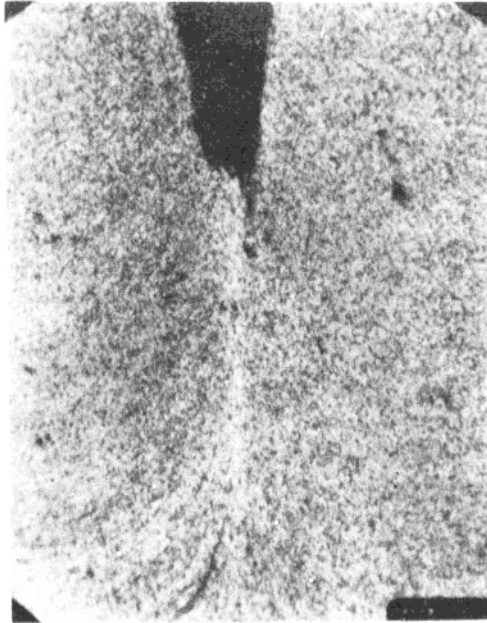


图 1 沟状腐蚀形态

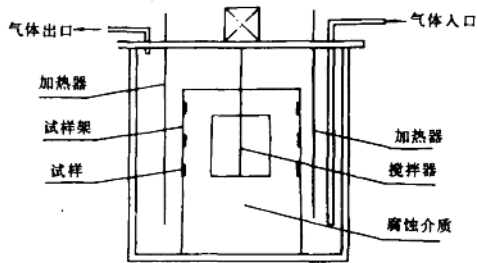


图 2 动态浸泡试验装置图

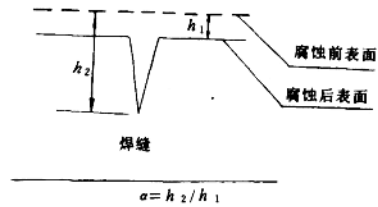
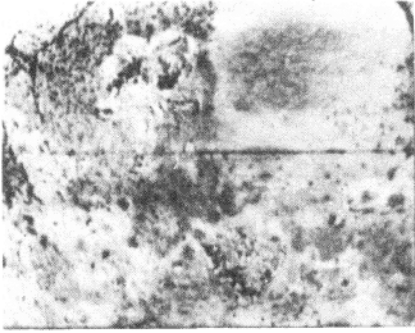
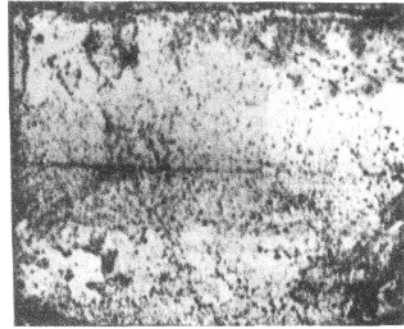


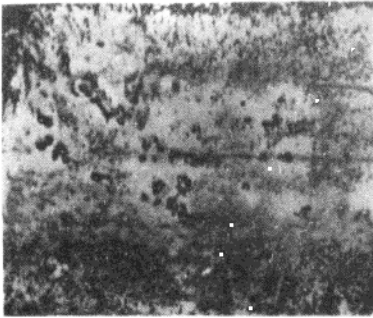
图 3 沟状腐蚀敏感性系数  $\alpha$



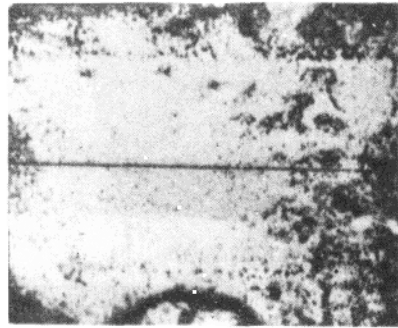
(a)



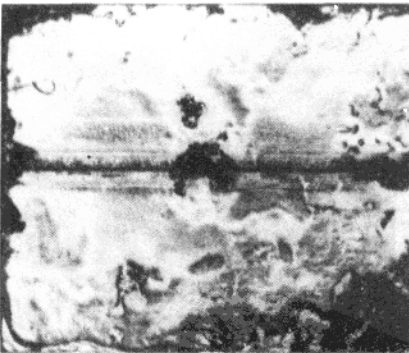
(b)



(c)



(d)



(e)



(f)

图4 ERW 输送管浸蚀后的形貌

(a)P1 样品形貌;(b)P2 样品形貌;(c)P3 样品形貌;(d)P4 样品形貌;(e)P5 样品形貌;(f)P6 样品形貌

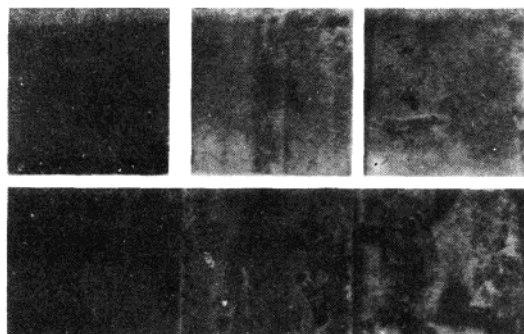


图5 ERW 套管浸蚀后的形貌

左:原始壁厚未浸蚀样品;中:原始壁厚浸蚀后样品;右:5mm 厚试样浸蚀后形貌



图6 沿焊缝富集的夹杂物( $\times 100$ )

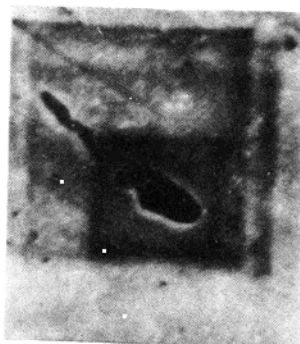


图7 焊缝内 MnS 夹杂物

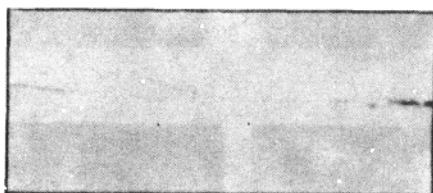


图8 焊缝内 MnS 夹杂物



图9 沟槽底部形貌

石油物探局制图印刷厂  
照排印刷